

# بررسی رفتار مکانیکی بتن حاوی مصالح بازیافتی بتن و لاستیک به عنوان پی جداساز

فاطمه آینه‌چی (دانشجوی کارشناسی ارشد)

هاشم شریعتمدار\* (استاد)

دانشکده مهندسی، دانشگاه فردوسی مشهد

مهندسی عمران شریف، (همار ۳۶۰) دری ۱۵۹-۱۶۷، ایجاده شرقی، (همار ۳۶۰) دری ۱۵۹-۱۶۷، ایجاده شرقی

با توجه به شرایط لرزه خیز کشور ایران و خسارت‌های زیادی که در نتیجه‌های آن به وجود می‌آید، تعییر در عملکرد فعلی طراحی سازه‌ی برای دستیابی به عملکرد بهتر در سیستم لرزه‌ی ضروری است. از سوی دیگر، نگرانی‌های زیست محیطی، مهندس‌های عمران را بر آن داشته است تا روش‌های مناسب استفاده مجدد از ضایعات ساختمانی را شناسایی کنند. هدف پژوهش حاضر، بررسی آزمایشگاهی رفتار بتن ساخته شده با مصالح بازیافتی به عنوان پی کستردی است که برای ساختمندانهای با ارتقای کم یا متوسط نقش جداساز لرزه‌ی دارد. در پژوهش حاضر، تأثیر گرانول لاستیک و سنگ‌دانه‌ی بتن بازیافتی بر روی بتن بررسی و چهار طرح اختلاط متفاوت به ترتیب فاقد مصالح بازیافتی، ۵۰، ۴۰ و ۳۰ درصد سنگ‌دانه‌ی بتن بازیافتی جایگزین درشت دانه، طراحی و ساخته شده است. یافته‌ها نشان داده‌اند که تعییر درصد سنگ‌دانه‌ی بتن بازیافتی به جای درشت دانه، سبب کاهش مقاومت‌های فشاری و خمشی و افزایش چشمگیر مقاومت برشی شده است.

**واژگان کلیدی:** بتن، پی جداساز لاستیک راک، سنگ‌دانه‌ی بتن بازیافتی، مقاومت مکانیکی.

fatemeh.ayenehchi@mail.um.ac.ir  
shariat.madar@um.ac.ir

## ۱. مقدمه و تاریخچه پژوهش

ایران در منطقه‌ی فعال لرزه‌ی قرار دارد و اغلب تلفات و خسارت‌های سنگین ناشی از زلزله‌های ویرانگر درکشور مشاهده می‌شود. لذا مردم در طول تاریخ نلاش کرده‌اند تا با استفاده از روش‌های مختلف با خطر طبیعی مقابله کنند. کاربرد روش جداسازی در ایران به صدها سال پیش و حتی دوران باستان باز می‌گردد. استفاده از سنگ‌دانه‌ی تخته‌ی چمنلایه و نصب الوارهایی از چوب بین پی و دیوارهای خانه‌ها، از جمله روش‌های ساخت مقاوم در برابر زلزله بوده است، که در گذشته در برخی مناطق ایران استفاده شده است. با این حال، تا چند سال اخیر از فتاوری جدید جداسازی لرزه‌ی

در ایران استفاده نشده است؛ که دلیل مهم برای آن می‌تواند به این واقعیت مربوط شود که تعییر ذهنیت سازندگان از روش جاری ساخت به یک فتاوری توسعه یافته‌ی جدید مشکل است.<sup>[۱]</sup>

در علم مهندسی زلزله‌ی نوین، به جای افزایش ظرفیت باربری جانی، با تجهیز سازه به سیستم‌های محافظتی نیاز وارد از طرف زلزله تا یک سطح قابل قبول کاهش داده می‌شود. سیستم‌های مذکور، که از طول عمر اختراع آنها بیش از چند

\* نویسنده مسئول

تاریخ: دریافت ۱۱/۱/۱۴۰۲، اصلاحیه ۱۴۰۲/۲/۱۹، پذیرش ۲/۳/۲۸، ۱۴۰۲/۲/۱۹.

استناد به این مقاله:

آینه‌چی، فاطمه و شریعتمدار، هاشم. ۱۴۰۳. بررسی رفتار مکانیکی بتن حاوی مصالح بازیافتی بتن و لاستیک به عنوان پی جداساز. مهندسی عمران شریف، ۱۱(۴۰)، صص. ۱۵۹-۱۶۷.

DOI:10.24200/J30.2023.61549.3183

بنازوک<sup>۱</sup> و همکاران (۲۰۰۳)، با بررسی خواص دوام لاستیک بازیافتی دریافتند که عملکرد ضعیف ذرات لاستیکی بازیافتی سبب کاهش دوام نمونه‌های مورد بررسی شده است.<sup>[۷]</sup> پژوهشگران برای غلبه بر چالش اخیر، راههای مختلفی برای بهبود عملکرد پیوند ذرات لاستیکی و بهبود خواص مکانیکی و دوام بتن لاستیکی امتحان کردند. مثلاً آلبانو<sup>۲</sup> و همکاران (۲۰۰۵) در بررسی و مقایسه‌ی تأثیر اندازه‌ی ذرات لاستیک در خاصیت دوام لاستیک‌های بازیافتی و عادی دریافتند که اندازی ذرات لاستیک مرتبط با میزان دوام لاستیک ساخته شده است.<sup>[۸]</sup>

برای کشورهایی که نزدیک به لبهای صفحه‌های تکتونیکی قرار دارند، همواره فعالیت‌های لرزه‌یی، حساس بوده است؛ چراکه باعث تخریب فاجعه‌آمیز ساختمان‌ها و زیرساخت‌ها می‌شود. اجراء سازه‌یی عموماً جهت حفظ پایداری سازه قرار داده می‌شوند و در آینین‌نامه‌ها و استانداردهای ساختمانی مرتبط، به صورت ضوابط و دستورالعمل مقرر شده‌اند. جهت تکمیل اجزاء سازه‌یی، مطالعات درخصوص زیرساخت‌ها گسترش یافته است. در تیجه‌ی مطالعات اخیر، سیستمی به نام جداسازی لرزه‌یی معرفی شد. تسانگ<sup>۳</sup> و همکاران (۲۰۰۷) دریافتند در سیستم‌های جداسازی لرزه‌یی، که به عنوان جداسازی پایه نیز شناخته می‌شود، یک رابط منعطف یا لغزنه بین سازه و زیرسازه وجود دارد، که به ثبت حرکت افقی تجربه شده در زمین (از نظر فعالیت لرزه‌یی کمک می‌کند. در حقیقت، اثر حرکت افقی وارد آمده از طرفی فعالیت لرزه‌یی بر سازه را کاهش می‌دهد. ایشان با مطالعه‌ی تأثیر استفاده از لاستیک زباله‌یی مخلوط با خاک به عنوان رابط بین فونداسیون و سازه برای افزایش مقاومت در برابر نیروهای ناشی از لزلزله به تأیید گفته‌ی اخیر پرداختند و براساس مقادیر ورودی از پیش تعیین شده، دریافتند که مخلوط‌های لاستیک و خاک در مقایسه با خاک مرجع، کاهش ۶۵ الی ۷۵ درصدی شتاب‌های افقی و عمودی زمین را به همراه دارند.<sup>[۹]</sup>

اویکونومو و ماوریدو<sup>۱۰</sup> (۲۰۰۹) نیز اذعان داشتند که فراوانی روزافزون لاستیک‌های زباله و فقدان چارچوب پردازش بازیافت همانگ، نگرانی درخصوص مدیریت مواد اخیر را افزایش می‌دهد. با توجه به شناخت اخیر جهانی و آگاهی قوی زیست‌محیطی، بسیاری از مقامات، قوانین و مقررات سختگیرانه‌یی در مورد محصول‌های پسماند اخیر، جهت جلوگیری از انبار بیش از حد و عملیات دفن زباله وضع کرده‌اند؛ که با اعمال آنها، فرصت مناسبی برای پژوهشگران فراهم شده است تا اقدام‌های پایدار و استفاده‌های جایگزین برای لاستیک‌های زباله را بررسی کنند. استفاده‌ی جایگزین زباله‌ی لاستیکی بیش از ۳۰ سال است که در مهندسی عمران بررسی شده است.<sup>[۱۰]</sup>

ازودو<sup>۱۱</sup> و همکاران (۲۰۱۲)، در بررسی مقاومت مقاومت در برابر ترک خوردن بین دو خاصیت مکانیکی لاستیک‌های بازیافتی و عادی دریافتند که جهت بهبود عادی، درصد سدیم هیدروکسید باید به ۴٪ محدود شود.

لی و همکاران (۲۰۱۴)، در بررسی تفاوت مقاومت در برابر ترک خوردن بین دو نمونه‌ی بتنی ساخته شده با لاستیک بازیافتی و لاستیک طبیعی نشان دادند که هر چه عمر نمونه‌ی بتنی بررسی شده بیشتر باشد، بتن ساخته شده با لاستیک بازیافتی رفتار بهتری در برابر فشار و ترک خوردن از خود نشان می‌دهد و اولین ترک ها در اثر فشار در زمان دیرتری در نمونه نمایان می‌شود.<sup>[۱۲]</sup>

مشیری و همکاران (۲۰۱۵) هم به جمع‌آوری داده‌های آماری از کارگاه‌های مادر و نیز داده‌های آماری سازمان‌های مرتبط، درخصوص میزان تولید سالانه‌ی لاستیک در سطح جهان پرداختند و دریافتند که تولید سالانه‌ی لاستیک‌های ضایعاتی، بر حسب تقاضای مطرح شده و برآورده‌کردن نیاز صنایع مختلف و عوام مردم، در سراسر

دیگری از سازه با مصالحی انعطاف‌پذیر یا جزئیات لغزان، به منظور کاهش پاسخ لرزه‌یی سازه یا بخشی از آن در زمان رویداد زلزله است. ایده‌ی طراحی سازه‌های جداسازی شده براساس کنترل قدرت تخریبی زمین‌لرزه‌های اخیر، از طریق مانع از ورود ارتعاش‌های زمین به سازه بنا شده است. در جداسازی لرزه‌یی، دوره‌ی تناوب اصلی سازه به کمک تجهیزاتی که بین روسازه و زیرسازه قرار می‌گیرد، افزایش می‌باید و با جابجایی دوره‌ی تناوب سازه از ناحیه‌ی پشت‌تاب طیف طرح به ناحیه‌ی کم شتاب آن، شتاب لزلزله مؤثر در سازه و نیروهای ناشی از آن کاهش می‌بایند. بدليل انعطاف‌پذیری جداسازها و تغییرمکان ناشی از آنها، کاهش تغییرمکان در سازه‌های جداسازی شده امری ضروری است. در حال حاضر، جداسازی پایه، به عنوان یک روش و تکنولوژی مؤثر جهت کاهش خرابی اعضاء سازه‌یی و غیرسازه‌یی در هنگام زمین‌لرزه پذیرفته شده و تعداد رو به رشد ساختمان‌ها و پل‌های ساخته شده با استفاده از تکنولوژی جداسازی پایه بیانگر پذیرش است.<sup>[۱۳]</sup>

استفاده از جداسازهای لرزه‌یی اغلب برای ساختمان‌های مرتفع و پروژه‌های بزرگ مقرن به صرفه است، همچنین ساختمان‌های با ارتفاع متوسط و یا کم، با توجه به قرارگیری در منطقه‌ی لرزه‌خیز، برای پیشگیری از خسارت جبران ناپذیر آنی نیاز به جداساز لرزه‌یی دارند.<sup>[۱۴]</sup>

از طرفی فعالیت‌های مهندسی، ضایعات زیادی را تولید می‌کنند، که منجر به آلودگی زیست‌محیطی می‌شوند و نگرانی‌هایی را برای مهندس‌ها به وجود می‌آورند. بنابراین، امروزه مهندسان تمايل پیشتری را دارند تا برای پروژه‌های خود از روش‌های مناسب استفاده مجدد از ضایعات استفاده کنند. لاستیک‌های زائد، منبع خوبی از ضایعات با کیفیت بالا و پایدار است، که می‌تواند از طریق فتاورهای جدید قابل دسترس و مفروض به صرفه باشد.

همچنین از آنجایی که عمر مفید سازه‌های زیربنایی کشور رو به اتمام است و نیاز به تخریب دارند به کارگیری ضایعات تخریبی آنها، مانند سنگ‌دانه‌های حاصل از بتن بازیافتی، می‌توانند از نظر اقتصادی مقرن به صرفه باشد.

با توجه به مطالعات انجام‌گرفته، ضرورت پژوهش حاضر، بررسی رفتار جداساز لرزه‌یی ساخته شده با مصالح لاستیک زائد و سنگ‌دانه‌های بتن بازیافتی است، که برای توسعه‌ی سیستم فونداسیون ساختمان‌های مسکونی با ارتفاع کم یا متوسط است.

بر این اساس، در ابتدا پژوهش‌های انجام‌شده روی لاستیک بازیافتی و سپس روی سنگ‌دانه‌ی بتن بازیافتی بررسی شده‌اند. بررسی‌ها بدین جهت بوده است که بی‌بتنی ساخته شده با مصالح ذکر شده بتوناند رفتار انعطاف‌پذیر و مستهلك‌کننده‌ی ارزی داشته باشد، بنابراین برای راستی آزمایی طرح موردنظر آزمایش‌های مکانیکی شامل: مقاومت‌های فشاری، خمشی، و برشی انجام و در انتها نتایج حاصل بررسی شده‌اند.

## ۱.۱. لاستیک زائد (تایرا)

لاستیک زائد، بدليل افزایش جمعیت و به دنبال آن، افزایش استفاده از وسایط حمل و نقل جاده‌یی و شهری، یک معضل جهانی برای محیط زیست، به جهت دفن زباله‌های ناشی از آن و آلودگی‌های فراوانی که به وجود می‌آورد، به شمار می‌رود. در سال ۱۹۹۸، پس از آنکه کاهش منابع طبیعی بدليل گسترش صنایع مرتبط با ساخت‌وساز، پرنگ شد؛ تلاش‌های پژوهشی درخصوص استفاده از محصولات زائد قبل بازیافت، مانند لاستیک‌های قراضه به عنوان جایگزین برای مواد تجدیدنپذیر سرعت بخشیده شد و مورد حمایت مقام‌های کشورهای مختلف قرار گرفت.<sup>[۱۵]</sup>

دوان<sup>۱۱</sup> و همکاران (۲۰۱۴)، در بررسی درصدهای مختلف ملات قدیمی چسبیده به سنگدانه‌ی بتن بازیافتی دریافتند که درصد پایین ملات قدیمی چسبیده به سنگدانه‌ی بتن بازیافتی، منجر به افزایش جذب آب، شاخص خردشگی، و شاخص سایش می‌شود. درنتیجه، عملکرد بتن حاوی سنگدانه‌ی بازیافتی ضعیف‌تر از بتن حاوی سنگدانه‌ی طبیعی است. همچنین ایشان یک روش نسبتاً ارزشمند، به نام طرح اختلال تو مرحله‌یی، جهت تقویت سنگدانه‌ی بتن بازیافتی ارائه دادند، که مزیت آن، مقرون به صرفه بودن و قابلیت بالای اجرا با صرف کمترین زمان بوده و از این جهت به تأیید جامعه‌ی مهندسی رسیده است.<sup>[۱۰]</sup>

ویرا<sup>۱۲</sup> و همکاران (۲۰۱۶)، در بررسی مقاومت‌های فشاری، کششی و خمشی نمونه‌ی بتی با سنگدانه‌ی بتن بازیافتی نشان دادند که میزان کاهش مقاومت‌های فشاری و کششی و همچنین ازدست دادن مقاومت خمشی بتن در ترکیب سنگدانه‌ی طبیعی بسیار بیشتر از بتن با ترکیب سنگدانه‌ی بازیافتی بوده است. ایشان همچنین دریافتند که در ترکیب سنگدانه‌ی بازیافتی به عملت میزان جذب آب و به دنبال آن، رعایت دقیق نسبت آب به سیمان، بتن با کیفیت مطلوب و مناسب تولید می‌شود و استفاده از سنگدانه‌ی بازیافتی را به دلیل کاربرد یکسان و کیفیت مناسب‌تر اعلام کردند. مثلاً روش‌های مختلف آماده‌سازی بتن را می‌توان برای تنش‌های مقاومت در فرآیند ساخت‌وساز به کار گرفت. آن‌ها همچنین دریافتند که تا محدوده‌ی خاصی با برخی فرآیندهای ساده و کم‌هزینه، مانند: تنظیم نسبت آب به سیمان، محتوای آب اضافه شده، و روش مخلوط‌کردن می‌توان در جهت بهبود بتن کام برداشت و آن را به کیفیت مطلوب رساند.<sup>[۱۱]</sup>

دچر<sup>۱۳</sup> (۲۰۱۹)، نیز به جمع‌آوری داده‌های آماری در خصوص حجم بتن تولید شده از کارخانه‌های معابر و سازمان‌های مرتبط پرداخت و پس از بررسی‌های لازم اعلام کرد که تولید جهانی بتن در دو دهه‌ی گذشته از ۱/۱ به ۳/۷ میلیارد تن (افزایش ۳ برابری) رسیده است، که این افزایش منجر به نگرانی بابت افزایش تولید آلتینده‌ها شده است.<sup>[۲۱]</sup>

با<sup>۱۴</sup> و همکاران (۲۰۲۰)، در بررسی روابط کمی محتوای ملات متصل به سنگدانه‌ی بتن بازیافتی و تأثیر آن در عملکرد بتن پرداختند و دریافتند کدن لایه‌های متصل به سنگدانه‌ی بتن بازیافتی، یک‌انه راه بهبود عملکرد بتن بازیافتی نیست. با این حال، روش‌های مناسب دیگری نیز وجود دارد. مثلاً با ارزیابی برخی روش‌های ساده و اقتصادی، مانند: کنترل نسبت آب به سیمان، تنظیم رطوبت و روش اختلال مختلف می‌توان عملکرد بتن بازیافتی را بهبود بخشید تا نیاز به کیفیت مطلوب بتن به لحاظ خواص دینامیکی و دوام آن برآورده شود.<sup>[۲۲]</sup>

وانگ<sup>۱۵</sup> و همکاران (۲۰۲۱)، به بررسی فرآیند بازیافت و استفاده‌ی مجدد بتن، روند ساخت بتن با سنگدانه‌ی بازیافتی و تفاوت روند ساخت بتن با سنگدانه‌ی بازیافتی با روند ساخت بتن با سنگدانه‌ی بازیافتی طبیعی پرداختند و پس از بررسی کامل خواص شیمیایی و فیزیکی و همچنین عملکرد بلندمدت بتن ساخته شده با سنگدانه‌ی بتن بازیافتی به مزایای کاهش تخلخل در بتن و حذف لایه‌ی ملات قدیمی بر روی سطح بتن بی بردن. همچنین با استفاده از مدل‌های مبتنی بر رگرسیون فعلی و هوش مصنوعی به بازنگری مقاومت فشاری، مدول کشسانی و منحنی تنش کرنش سنگدانه‌ی بتن بازیافتی پرداختند.<sup>[۲۳]</sup>

در مطالعات ساهو<sup>۱۶</sup> و همکاران (۲۰۲۲)، در مقایسه‌ی خواص مکانیکی و دوام تازه بین بتن معمولی و بتن بازیافتی با جایگزینی سنگدانه‌ی بازیافتی با سنگدانه‌ی طبیعی در خصوص جذب آب و خشکشندگی نمونه نشان داد که سنگدانه‌ی بتن بازیافتی در مقایسه‌ی با سنگدانه‌ی طبیعی، جذب آب بالاتر، مقاومت فشاری پایین‌تر و تأخیر در خشکشندگی دارد.<sup>[۱۸]</sup>

جهان به ۱/۵ میلیارد لاستیک کامل می‌رسد. لاستیک‌های کامل دارای ویژگی‌های منحصر به فرد بسیاری، از جمله: ویژگی‌های لاستیک‌های ضایعاتی هستند، که می‌توان به چگالی کم، خواص عایق خوب، قابلیت زهکشی بالا، و دوام طولانی مدت پس از استفاده‌ی پی در پی اشاره کرد.<sup>[۱۳]</sup>

ربواس<sup>۱۷</sup> و همکاران (۲۰۱۵)، در بررسی تفاوت مقاومت در برابر ضربه بین دو نمونه‌ی بتی ساخته شده با لاستیک‌های بازیافتی و طبیعی نتیجه گرفتند که استفاده از لاستیک بازیافتی در نمونه‌ی بتی، از نظر مقاومت در برابر ضربه نیز همانند مقاومت در برابر ترک خوردن، به صرفه‌تر از نمونه‌ی بتی ساخته شده با لاستیک عادی است.<sup>[۱۴]</sup>

یوسف و همکاران (۲۰۱۵)، برای بررسی رفتار لزه‌ی ستون‌های بتی مسلح ساخته شده از خرد بتن لاستیکی (CRC)<sup>۷</sup>، در مجموع، سه ستون، یکی به صورت CRC و دو ستون دیگر ساخته شده از بتن معمولی با بارهای محوری متنوع ساختند. برای ارزیابی خواص میرایی، قبل از آزمایش چرخه‌یی هر ستون، یک آزمایش برگشت سریع انجام دادند و این نتایج را به دست آورده: (الف) با افزودن خرد لاستیک به نمونه، تغییر قابل توجهی در شکل‌پذیری و استحکام جانبی نهایی مشاهده شده است؛ (ب) در مقطع ستون CRC در مقایسه با ستون‌های محوری اینجا به وجود آمده است؛ (ج) آسیب ستون‌های بتی تحت بارگذاری لزه‌یی از طریق خرد لاستیک کاهش یافته و یا به تأخیر افتاده است.<sup>[۱۵]</sup>

استراکار<sup>۸</sup> و همکاران (۲۰۱۹) بیان کردند بدین‌جهتی است که سنگدانه‌های لاستیکی ضایعاتی را می‌توان به عنوان جایگزینی جزئی برای سنگدانه‌های درشت و دانه‌های ریز استفاده کرد؛ زیرا نتایج پژوهش‌های ایشان نشان داد که جایگزینی سنگدانه‌ی طبیعی با سنگدانه‌ی لاستیک بازیافتی در بتی، باعث ایجاد عناصر ساختاری رفتار بهبود یافته، از جمله: افزایش ظرفیت تغییرشکل (شکل‌پذیری)، الاف بهتر انرژی و میرایی بیشتر در مقایسه با بتن استاندارد ساخته شده با سنگدانه‌ی های معمولی شده است. با این حال، افزایش محتوای لاستیک در بتن نیز آثار منفی مانند کاهش:

نتایج لی و همکاران (۲۰۲۲) نشان داده است که افزایش محتوای لاستیک می‌تواند مقاومت در برابر نفوذ کارید، مقاومت در برابر حمله‌ی اسید و سولفات، مقاومت در برابر انجامد-ذوب، و مقاومت در برابر آسیب واکنش قلایی - سیلیکا بتن را بهبود بخشد و محتوای ۵ تا ۲۰ درصد اثر بهبود قابل توجهی دارد. لاستیک جایگزین سنگدانه‌های ریز بهترین طرح برای دوام است. علاوه‌بر این، اندازه‌ی ذرات لاستیکی توصیه شده ۰ تا ۳ میلی‌متر بوده است. با این حال، ذرات لاستیک آثار نامطبوبی در مقاومت در برابر سایش، نفوذناپذیری و نیز مقاومت در برابر جذب آب و کربناته شدن دارد.<sup>[۱۶]</sup>

## ۲.۱ سنگدانه‌ی بتن بازیافتی

هانسن<sup>۹</sup> (۱۹۸۶)، در بررسی تفاوت سنتگدانه‌ی بتن بازیافتی با سنتگدانه‌ی طبیعی در خصوص جذب آب و خشکشندگی نمونه نشان داد که سنتگدانه‌ی بتن بازیافتی در مقایسه با سنتگدانه‌ی طبیعی، جذب آب بالاتر، مقاومت فشاری پایین‌تر و تأخیر در خشکشندگی دارد.<sup>[۱۸]</sup>

براساس گزارش‌های ریاثو<sup>۱۰</sup> و همکاران (۲۰۱۲)، در دهه‌های اخیر در مناطق شهری قدیمی چین، بازسازی گستردگی نشان داده است؛ که سبب افزایش چشمگیر میزان زباله‌های ساختمانی و تخریبی (حدود ۳۰ تا ۴۰ درصد زباله‌های جامد شهرداری) شده است.<sup>[۱۹]</sup>

جدول ۱. مشخصات فیزیکی سیمان مصرفی.

نتایج		آزمایش‌های فیزیکی
۳,۱۸۵		وزن مخصوص (ton/m <sup>3</sup> )
۲۵,۸۰		درصد آب غلظت طبیعی
۱۵۰,۰۰	گیرش اولیه (دقیقه)	زمان گیرش با سوزن ویکات
۲ : ۵۰	گیرش نهایی (ساعت)	گیرش نهایی (ساعت)
	سلامت سیمان (انبساط)	سلامت سیمان (انبساط)
۰,۰۲	درصد انبساط آزمایش اتکلاو	انبساط آزمایش اتکلاو
۱,۰۰	انبساط آزمایش لوشاتلیه (mm)	انبساط آزمایش لوشاتلیه (mm)
۰,۰۳	درصد انبساط سولفات ۱۴ روزه	درصد انبساط سولفات ۱۴ روزه
	نمی	نمی
۳۷۵۰,۰۰	سطح مخصوص. بلین (cm <sup>2</sup> /gr)	سطح مخصوص. بلین (cm <sup>2</sup> /gr)
۴,۶۰	درصد باقیمانده روی الک ۴۵ میکرون	درصد باقیمانده روی الک ۴۵ میکرون
نتایج		آزمایش‌های فیزیکی
۳,۱۸۵		وزن مخصوص (ton/m <sup>3</sup> )
۲۵,۸۰		درصد آب غلظت طبیعی
۱۵۰,۰۰	گیرش اولیه (دقیقه)	زمان گیرش با سوزن ویکات
۲ : ۵۰	گیرش نهایی (ساعت)	گیرش نهایی (ساعت)
	سلامت سیمان (انبساط)	سلامت سیمان (انبساط)
۰,۰۲	درصد انبساط آزمایش اتکلاو	انبساط آزمایش اتکلاو
۱,۰۰	انبساط آزمایش لوشاتلیه (mm)	انبساط آزمایش لوشاتلیه (mm)
۰,۰۳	درصد انبساط سولفات ۱۴ روزه	درصد انبساط سولفات ۱۴ روزه
	نمی	نمی
۳۷۵۰,۰۰۰	سطح مخصوص. بلین (cm <sup>2</sup> /gr)	سطح مخصوص. بلین (cm <sup>2</sup> /gr)
۴,۶۰	درصد باقیمانده روی الک ۴۵ میکرون	درصد باقیمانده روی الک ۴۵ میکرون

مختلف سنگدانه‌های بتن بازیافته نسبت به بتن معمولی از ۰ تا ۴۰ درصد افزایش یافته است؛ لذا با افزودن مواد افزودنی شیمیایی و معدنی مناسب می‌توان مقاومت سنگدانه‌ی بتن بازیافته را تا ۲۰٪ نسبت به بتن معمولی افزایش داد.<sup>[۲۱]</sup>

## ۲. مصالح و برنامه‌ی آزمایشگاهی

تعیین مشخصات مصالح موردنیاز و مقادیر آن‌ها، روش ساخت و ابعاد نمونه‌ها، تعیین شرایط و مراحل انجام آزمایش‌ها به پژوهشگر کمک می‌کند تا به نتایج قابل اعتمادتری برسد.

### ۱. مصالح مصرفی

پیش از ساخت نمونه‌های بتنی، انتخاب صحیح نوع سیمان از ملزمات است. سیمان برترین معمولی (نوع I) برای مصرف در کارهای ساختمانی عمومی در موقعی که بتن با سولفات‌های محلول در آب موجود در خاک و یا آب‌های سطحی مواجه نشود، مناسب است. در پژوهش حاضر، از سیمان تیپ ۱-۵۲۵ بجزورد استفاده شده است، که مشخصات فیزیکی آن در جدول ۱ ارائه شده است.

آب مصرفی پژوهش حاضر، آب شرب (لوئیکشی) بوده است. ماسه‌ی استفاده شده نیز، ماسه‌ی شسته شده در محل دبوی آزمایشگاه سازه‌ی دانشگاه است، که از کارخانه‌های شن‌شویی خریداری و مشخصات فیزیکی آن در جدول ۲ ارائه شده است.

جدول ۲. مشخصات فیزیکی ماسه‌ی مصرفی.

وزن مخصوص خشک (gr/cm <sup>3</sup> )	مدول نرمی	درصد جذب آب
۳,۸۰	۲,۴۴	۱,۶۵

جدول ۳. مشخصات فیزیکی شن مصرفی.

درصد سایش	وزن مخصوص (gr/cm <sup>3</sup> )	درصد جذب آب
۱,۳۸	۱,۷۰	۱۰,۲۱

جدول ۴. مشخصات فیزیکی سنگدانه‌های بتن بازیافته.

درصد سایش	وزن مخصوص (gr/cm <sup>3</sup> )	درصد جذب آب
۲,۱۰	۲,۴۰	۲۶,۵۰

جدول ۵. خواص فیزیکی الیاف فورتاورو.

وزن مخصوص	مدول کشسانی	قطر الیاف	طول الیاف	(mm)	(kg/m <sup>3</sup> )
(mm)	(mm)	(mm)	(mm)	(mm)	(mm)
۴,۷۰	۰,۳۴	۵۴,۰۰	۹۰,۰۰		

همچنین، جهت ساخت و تهیه‌ی نمونه‌های بتنی، از شن موجود در محل دبوی آزمایشگاه سازه‌ی و به صورت شکسته استفاده و مشخصات فیزیکی آن در جدول ۳ ارائه شده است. تهیه‌ی سنگدانه‌های بتن بازیافته از باکس ضایعات آزمایشگاه دانشگاه بوده است، که مشخصات فیزیکی آن در جدول ۴ ارائه شده است. گرانول و پودر لاستیک بازیافته با هماهنگی دانشگاهی دانشگاه و سازمان مدیریت پسماند از کارخانه مربوط به بازیافت مواد تهیه شده است. اندازه‌ی ذرات لاستیک‌های خردشده بین ۰,۰۷۵ تا ۰,۱۵۰ میلی‌متر و چگالی آن ۱۶۵ گرم بر سانتی‌متر مکعب بوده است. با توجه به اینکه الیاف فولادی بازیافته موجود در تایر لاستیکی، توسط آهن ربا جدا شده است، گرانول‌های لاستیکی عاری از هرگونه الیاف فولادی بوده‌اند. قبل از اختلاط بتن جهت پاک شدن پودر و گرانول لاستیک از هرگونه ناخالصی و گرد و غبار، ذرات لاستیک با محلول ۴٪ سدیم هیدروکسی‌سید، به منظور افزایش چسبندگی رابط لاستیک و سیمان، شسته شده‌اند.<sup>[۱۶]</sup>

برای جلوگیری از گسترش ترک‌ها از الیاف فورتاورو استفاده شده است، که از کوپلیمر و پلی‌پروپیلن ۱۰٪ خالص ساخته و به شکل الیاف نازک درهم تاییده شده و به صورت الیاف شبکه‌یی استفاده شده است. الیاف فورتاورو در محیط‌های اسیدی و قلیایی مقاومت بسیار بالایی دارد. مشخصات الیاف فورتا مصرفی در جدول ۵ ارائه شده است.

### ۲. ساخت نمونه‌های بتنی

در پژوهش حاضر، برای طراحی طرح اختلاط بتن، از روش حجمی استاندارد ACI ۲۱۱ استفاده شده است. هدف از طرح اخیر، دستیابی به یک پی‌گستردۀ جهت جداساز لرزه‌یی بوده و در آن، برای برآورده ساختن شباht بالا به جداساز معمولی، از بیشترین مقدار مجاز لاستیک و الیاف استفاده شده است. طبق نشریه‌ی شماره‌ی ۵۲۳، تلاش بر آن بوده است تا مقاومت فشاری نمونه‌های بتنی به ۱۵ مکاپسکال برسد.<sup>[۲۶]</sup> لذا برای ساخت چنین بتن سبکی از مصالح سنگی سبک استفاده شده است. از آنجایی که گرانول لاستیک و سنگدانه‌ی بتن بازیافته هر دو منجر به کاهش مقاومت فشاری می‌شوند، مبنای مقاومت فشاری طرح مذکور، ۳۰

#### جدول ۶. طرح‌های اختلاط پی جداساز.

نام طرح بی جداساز	شاهد	%۴۰	%۵۰	%۶۰
سیمان ( $kg/m^3$ )	۳۷۲۰	۳۷۲۰	۳۷۲۰	۳۷۲۰
نسبت آب به سیمان	۰,۵۵	۰,۵۵	۰,۵۵	۰,۵۵
ریزدانه ( $kg/m^3$ )	۷۴۳۰	۷۴۳۰	۷۴۳۰	۷۴۳۰
درشت دانه ( $kg/m^3$ )	۴۶۸۰	۵۰۹۰	۴۸۸۰	۳۷۱۰
سنگدانه بتن بازیافتی ( $kg/m^3$ )	۵۲۴۰	۶۵۵۰	۸۶۸۰	۷۸۶۰
مقدار فورتا ( $kg/m^3$ )	۰,۳۰	۰,۳۰	۰,۳۰	۰,۳۰
گرانول لاستیک ( $kg/m^3$ )	۱۱۳۰	۱۱۳۰	۱۱۳۰	۱۱۳۰

ینکه بارگذاری به طور یکنواخت اعمال شود، لازم بود تا سطح نمونه‌ها قبل انجام آزمایش، کاملاً صاف شود. بیشترین تشخیص نمونه‌های بتون، طبق رابطه‌ی ۱ به دست می‌آید:

$$fc = \frac{F}{Ac} \quad (\text{v})$$

که در آن،  $F$  مقدار نیروی شکست بر حسب نیوتن ( $N$ )؛  $A_c$  سطح بارگذاری بر حسب میلی متر مربع ( $mm^2$ ) و مقدار مقاومت فشاری نمونه ها بر حسب مگا پاسکال ( $MPa$ ) است.

در آزمون مقاومت فشاری، هر طرح با سه نمونه‌ی استوانه‌ای در سن ۲۸ روزه نجات و مقاومت فشاری نهایی، براساس میانگین مقاومت فشاری سه نمونه محاسبه شده است.

آزمون مقاومت خمی بتن، مطابق استاندارد C784 ASTM به صورت بارگذاری بر روی یک سوم دهانه‌ی تیر ساده، بر روی نمونه‌های منتشری  $40 \times 100 \times 100$  میلی‌متر و در سن ۲۸ روزه انجام شده است. نمونه‌ها یک روز قبل از انجام آزمایش از حوضچه‌ی عمل‌آوری خارج شدند تا کاملاً خشک شوند. همچنین جهت توزیع مناسب نیرو، سطح نمونه‌ها پس از خشک شدن، ساب زده شده‌اند. در صورتی که محل شکستگی در یک سوم وسط دهانه‌ی تیر باشد، محاسبه‌ی مقاومت خمی، براساس رابطه‌ی ۲ انجام می‌شود:

$$R = \frac{PL}{bd^r} \quad (\textcircled{2})$$

که در آن،  $F$ : مقاومت خمشی بتن بر حسب مگاپاسکال (MPa)؛  $P$ : نیروی وارده بر حسب نیوتون (N)؛  $L$ : طول نمونه بر حسب میلی متر ( $mm$ )؛  $b$ : عرض میانگین تیر بر حسب میلی متر ( $mm$ )؛  $d$ : ارتفاع میانگین تیر بر حسب میلی متر ( $mm$ ) است. برای انجام آزمایش مقاومت برشی، از روش آزمون انجمن مهندسی عمران ژاپن (JSCE) به دلیل نبود روش استاندارد برای آزمون مقاومت برشی در ASTM CSA استفاده شده است. به علت عدم دسترسی به سیستم پیشنهادی برای انجام آزمایش برشی براساس ۵۳۳ JSCEG، به ساخت تجهیزات خاص آزمایش مرتبط پرداخته شده است. در ابتدا طرح های موجود برای آزمایش به آزمایشگاه دانشگاه ارجاع داده شدند و پس از بررسی های فنی در استاندارد CAD/CAM مرتبط، در مورد ابعاد قطعات، طراحی فنی جزئیات قطعات صورت گرفت. طبق طراحی های فنی انجام شده، قطعات فولادی توسط دستگاه CNC تراش و آماده سازی شدند. تیپسی های آزمایش، بشه، استفاده شده در نه هشت، حاضر، در شکا، ۱ مشاهده

تنظیم‌های آزمایش برشی استفاده شده در پژوهش حاضر در شکل ۱ مشاهده

#### جدول ۷. نام طرح‌های اختلاط در بخش نتایج.

نام گذاری در بخش نتایج	Foundation Ref	شاهد
$\% \text{ } ^\circ \text{ } RCA + \% / \Delta FF + \% \Delta CR$	$\% \text{ } ^\circ \text{ }$	$\% \text{ } ^\circ \text{ }$
$\% \text{ } ^\circ \text{ } RCA + \% / \Delta FF + \% \Delta CR$	$\% \text{ } ^\circ \text{ }$	$\% \text{ } ^\circ \text{ }$
$\% \text{ } ^\circ \text{ } RCA + \% / \Delta FF + \% \Delta CR$	$\% \text{ } ^\circ \text{ }$	$\% \text{ } ^\circ \text{ }$

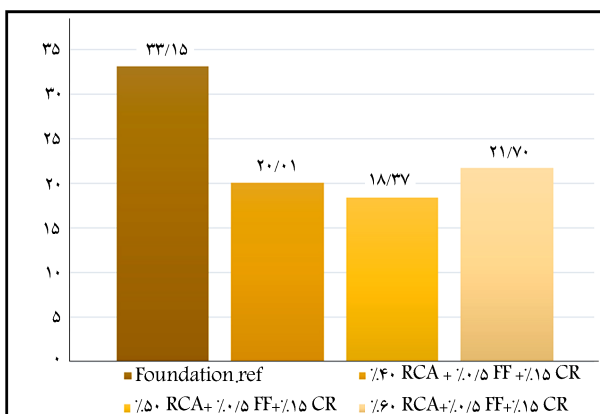
مگاپاسکال در نظر گرفته شده است، تا درنهایت به  $10^5$  مگاپاسکال برسد. طراحی اخیر شامل، این  $4$  طرح است:

طرح نخست، طرح شاهد بن معمولی عاری از گرانول لاستیک و الیاف فورتافور و سنگدانه‌های بتن بازیافتی بوده است، که جهت مقایسه با ۳ طرح دیگر بررسی شده است. سه طرح دیگر حاوی ۴۰، ۵۰ و ۶۰ درصد سنگدانه‌های بتن بازیافتی جایگزین درصد حجمی درشت‌دانه طراحی و بررسی شده‌اند. در سه طرح ذکر شده، درصد گرانول لاستیک ثابت و حدود ۱۵٪ حجم کل و میزان الیاف فورتافور مصرفی حدود ۵٪ حجم کل بوده است. در جدول ۶، طرح‌های اختلاط پی چهارساز را به شده است.

نامگذاری موجود در بخش نتایج آزمایشگاه به شرح جدول ۷ بوده است:  
 برای ساخت بن از میکسر با ظرفیت ۶۰ لیتر استفاده شده است. به دلیل استفاده از سنگدانه‌های بن بازیافتی، جهت بهبود شرایط بن از روش طرح اختلاط دو مرحله‌یی برای اختلاط استفاده شده است.<sup>[۲۷]</sup> بن ساخته شده طی دو مرحله در قالب‌های آغشته به روغن ریخته شده و عمل تراکم، با کوبیدن ۲۵ ضریبی میله به درون بن و با استفاده از چکش پلاستیکی برای متراکم کردن مخلوط در گوشه‌های قالب انجام شده است. طبق استاندارد ASTM C ۱۹ خارج کردن نمونه‌ها از قالب،  $8 \pm 2$  ساعت بعد از قالبگیری نمونه‌ها ممکن بوده است.

### ٣.٢. خصوصیات مکانیکی

آزمون مقاومت فشاری براساس استاندارد ASTM C۳۹، روی نمونه های استوانه ای به اندازه  $200 \times 100$  میلی متر و با استفاده از دستگاه تمام اوتوماتیک کالبیره شده انجام شده است. در آزمایش مقاومت فشاری، سرعت بارگذاری بر روی نمونه ها آزمایش شده است. برای این منظور یک روز پیش از انجام  $25 \pm 5$ ٪ مکاپاسکال بوده است. برای این نمونه ها از حوضچه ای عمل آوری خارج شدن تا کاملاً خشک شوند. برای آزمایش، نمونه ها از حوضچه ای عمل آوری خارج شدن تا کاملاً خشک شوند. برای



شکل ۳. نمودار مقایسه‌ی مقاومت فشاری بتن ۲۸ روزه بر حسب مگاپاسکال.

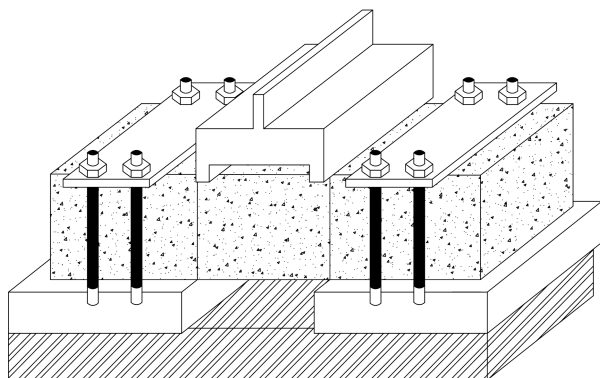


شکل ۴. نمونه‌ی بتنی تحت خمش.

روند مقاومت فشاری کاهشی شده است، که علت آن را می‌توان ناهماهنگی ابعاد سنگدانه‌ی بتن بازیافتی و ایجاد فضای خالی در ماتریس بتن دانست. با افزودن سنگدانه‌ی بتن بازیافتی از ۴۰ تا ۵۰ درصد، همچنان روند افزایشی ادامه داشته است، اما با افزایش متغیر مذکور تا ۶۰٪ مقاومت فشاری روند افزایشی به خود گرفته است؛ تا آنجا که بتن حاوی ۶۰٪ سنگدانه‌ی بتن بازیافتی، بهترین مقاومت فشاری را نسبت به بقیه‌ی طرح‌های سنگدانه‌ی بتن بازیافتی نشان داده است. چراکه اسلام‌پ در بتن حاوی ۶۰٪ سنگدانه‌ی بتن بازیافتی نسبت به دو حالت قبل کمتر بوده و در واقع بتن، روانی کمتری داشته است. بدینهی است اسلام‌پ نمونه‌ی بتنی از مهم‌ترین عوامل مؤثر در مقاومت فشاری آن است. بنابراین، مقدار مقاومت فشاری از تغییرات درصد سنگدانه‌ی بتن بازیافتی تأثیر می‌پذیرد.

### ۲.۳. مقاومت خمشی

برای محاسبه‌ی مقاومت خمشی به روش بارگذاری سه نقطه‌یی با بدکارگیری بلاک تکیه‌گاهی به صورت بارگذاری بر روی یک سوم دهانه‌ی تیر ساده، مقدار بار بیشینه‌ی از دستگاه قرات شده است. در شکل ۴، نمونه‌ی بتنی تحت خمش و در شکل ۵، نتایج حاصل از آزمایش مقاومت خمشی مشاهده می‌شود. مطابق شکل ۵، مقاومت نمونه‌ی بتنی بدون سنگدانه‌ی بتن بازیافتی، ۷۷/۷ مگاپاسکال است، که با افزودن ۴۰٪ سنگدانه‌ی بتن بازیافتی، مقاومت نمونه‌ی بتنی به ۱۹/۶ مگاپاسکال رسیده است. با افزودن ۵۰٪ سنگدانه‌ی بتن بازیافتی به نمونه‌ی بتنی، مقاومت آن به ۹۶/۵ مگاپاسکال رسیده و مقاومت خمشی



شکل ۱. تنظیم‌های آزمایش برشی.



شکل ۲. نمونه‌ی بتنی درون جک جهت انجام آزمایش مقاومت فشاری.

می‌شود.<sup>[۲۸]</sup> ابعاد نمونه براساس استاندارد JSCEG ۵۳۳،  $75 \times 75 \times 245$  میلی‌متر در نظر گرفته شده است. بیشینه‌ی مقاومت برشی تیر براساس رابطه‌ی ۳ محاسبه می‌شود:

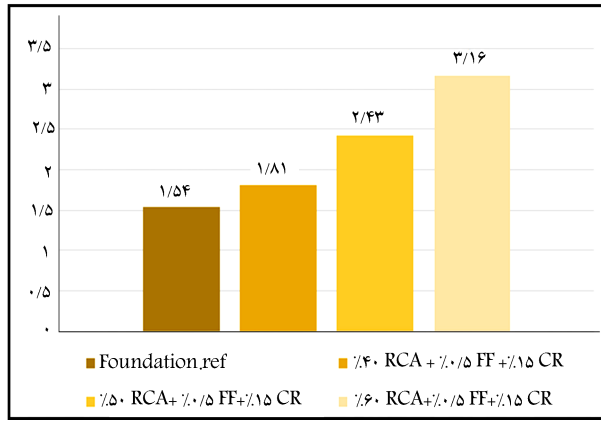
$$\tau_{Max} = \frac{P_{Max}}{2A} \quad (3)$$

که در آن،  $\tau_{Max}$  مقدار مقاومت برشی بر حسب مگاپاسکال (MPa)؛  $P_{Max}$  نیروی تحمل شده توسط نمونه بر حسب نیوتون (N)؛  $A$  مساحت مؤثر صفحه‌ی برشی در هر طرف نمونه بر حسب میلی‌مترمربع ( $mm^2$ ) است؛ که با توجه به ایجاد بریدگی در محل برش، سطح برش بعد از آزمون باید دقیقاً اندازه‌گیری شود.

### ۳. نتایج آزمایشگاه

#### ۱.۳. مقاومت فشاری

نمونه‌ی بتنی درون دستگاه جک هیدرولیکی در شکل ۲ و نتایج حاصل از آزمایش مقاومت فشاری در شکل ۳ مشاهده می‌شوند. مشاهده می‌شود با افزایش میزان سنگدانه‌ی بتن بازیافتی از ۰ به ۴۰ درصد،



شکل ۷. مقایسه‌ی مقاومت برشی نمونه‌های بررسی شده بر حسب مگاپاسکال.

بتن بازیافتدی به نمونه، میزان تنش برشی نمونه به طور متوسط  $10.5 \text{ MPa}$  افزایش یافته است. که علت آن، وارد شدن عملکرد سنگدانه‌ی بتن بازیافتدی قبل از ایجاد میکروترک‌ها در بتن و درنتیجه‌ی آن، افزایش مقاومت برشی نمونه بوده است. نتایج حاصل از آزمایش مقاومت برشی، افزایش تنش برشی به ازاء افزایش هر چه بیشتر سنگدانه‌ی بتن بازیافتدی به نمونه‌ی بتی را نشان می‌دهد. همچنین می‌توان دریافت که نزخ افزایش تنش برشی با افزودن سنگدانه‌ی بتن بازیافتدی، یکسان نبوده و با افزایش سنگدانه‌ی بتن بازیافتدی از  $40 \text{ MPa}$  به  $50 \text{ MPa}$  نزخ افزایش تنش برشی به صورت تصاعدی و با افزایش سنگدانه‌ی بتن بازیافتدی از  $50 \text{ MPa}$  به  $60 \text{ MPa}$  نزخ افزایش تنش برشی نسبت به حالت قبل نزولی بوده است. از این مهم می‌توان نتیجه‌گرفت که افزایش سنگدانه‌ی بتن بازیافتدی تا حد معینی به صرفه است؛ به نحوی که افزودن آن بیش از حد به دست آمده برای افزایش تنش برشی، صرفی اقتصادی ندارد. به این ترتیب در پژوهش حاضر، نمونه‌ی بتی با  $7.50\%$  سنگدانه‌ی بتن بازیافتدی، نمونه‌ی بهینه است و افزودن سنگدانه‌ی بتن بازیافتدی کمتر از  $50\%$  منجر به تنش برشی پایین می‌شود و افزودن سنگدانه‌ی بتن بازیافتدی بیش از  $50\%$ ، به نسبت افزایش تنش برشی آن، صرفی اقتصادی ندارد.

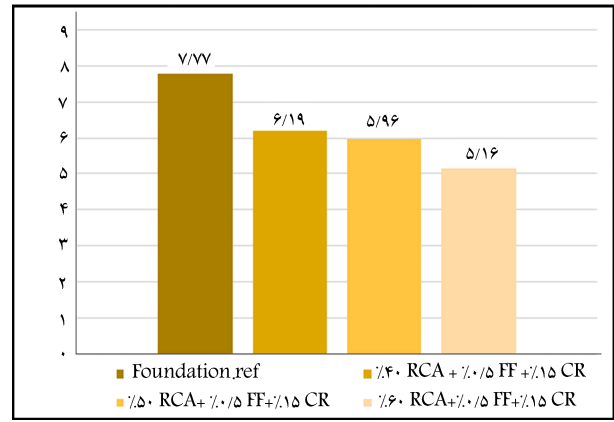
#### ۴. نتیجه‌گیری

نتایج آزمایش‌ها به طور خلاصه به این شرح است:

- نتایج آزمایش مقاومت فشاری در سن  $28$  روزه نشان داد که افزودن سنگدانه‌ی بتن بازیافتدی، گرانول لاستیک، و الیاف فورتافور باعث کاهش چشمگیر مقدار مقاومت فشاری شده است.

نتایج آزمایش مقاومت خمیشی در سن  $28$  روزه برای پی جداساز نشان داد که افزودنی‌ها کاهش قابل ملاحظه‌ی در مقاومت خمیشی ایجاد می‌کنند و با تغییر درصد سنگدانه‌ی بتن بازیافتدی، میزان کاهش آن شدت می‌یابد؛

- نتایج آزمایش مقاومت برشی در سن  $28$  روزه‌ی طرح حاضر افزایش چشمگیری را با افزایش درصد سنگدانه‌ی بتن بازیافتدی به صورت صعودی نشان داده است. لازم به ذکر است که جهت استفاده از جداساز لرزه‌ی ذکرشده به عنوان بی‌گستره، که موضوع اصلی پژوهش حاضر است، باید مقاومت و رفتار برشی مطلوبی کسب شود؛ لذا آزمایش‌های انجام شده نشان داد که مقاومت برشی کسب شده با استفاده از



شکل ۵. نمودار مقاومت خمیشی نمونه‌های بررسی شده بر حسب مگاپاسکال.



شکل ۶. نمونه‌ی بتی تحت اعمال نیروی برشی.

نمونه‌ی بتی با  $7.60\%$  سنگدانه‌ی بتن بازیافتدی به  $5.16 \text{ MPa}$  مگاپاسکال کاهش یافته است. از طرفی نتایج نشان می‌دهند که افزایش  $7.40\%$  سنگدانه‌ی بتن بازیافتدی به نمونه‌ی بتی، موجب کاهش مقاومت خمیشی به میزان  $2.60\%$  شده است. همچنین با افزایش  $50\%$  و  $60\%$  درصد سنگدانه‌ی بتن بازیافتدی به نمونه‌ی بتی، مقاومت خمیشی به میزان  $2.3$  و  $3.3 \text{ MPa}$  درصد کاهش یافته است؛ که علت آن کیفیت کمتر بتن ساخته شده با سنگدانه‌های بتن بازیافتدی نسبت به بتن ساخته شده با سنگدانه‌های طبیعی است. چرا که سنگدانه‌های بتن بازیافتدی، حاصل بازیافت ضایعات ناشی از تخریب و استفاده‌ی مجدد از آن است. بنا برای نمونه‌ی بتی با سنگدانه‌های بتن بازیافتدی، طاقت خمیشی کمتری نسبت به نمونه‌ی شاهد دارد.

#### ۴.۳ مقاومت برشی

آزمایش مقاومت برشی طبق شکل ۶، با هدف محاسبه‌ی بیشینه‌ی تنش برشی نمونه‌های بتی با درصد سنگدانه‌ی بتن بازیافتدی متفاوت انجام شده است. پس از محاسبه‌ی تنش برشی برای نمونه‌های  $28$  روزه، میانگین مقاومت برشی سه نمونه‌ی موجود محاسبه شده است، که نتایج آن در شکل ۷ مشاهده می‌شود. با بررسی شکل اخیر مشاهده می‌شود که تنش برشی نمونه‌ی شاهد،  $1.54$  مگاپاسکال بوده و پس از افزودن  $40\%$  سنگدانه‌ی بتن بازیافتدی، مقدار آن،  $1.17$  مگاپاسکال بوده و پس از افزودن  $50\%$  سنگدانه‌ی بتن بازیافتدی، مقدار آن،  $1.17$  مگاپاسکال بوده است. با ادامه‌ی روند افزایش سنگدانه‌ی بتن بازیافتدی به  $50\%$ ، مقدار تنش برشی نمونه به میزان  $0.58$  افزایش یافته و درنهایت با افزایش  $60\%$  سنگدانه‌ی

در ادامه، می‌توان توصیه‌هایی برای تکمیل و ادامه‌ی پژوهش حاضر به این شرح ارائه کرد:

۱. مقایسه‌ی رفتار بی جداساز با رفتار جداساز معمولی؛
۲. بررسی زهکشی و تراوش آب در زمین حین استفاده از پی جداساز؛
۳. مدل‌سازی لرزه‌بی پی جداساز.

گرانول لاستیک و سنگ دانه‌ی بتن بازیافتی منجر به مقاومتی در حد مقاومت لازم برای پی ساختمان‌های با ارتفاع کوتاه یا متوسط شده است. به طورکلی می‌توان گفت استفاده از مواد بازیافتی می‌تواند توانمندی برشی و استهلاک انرژی را افزایش دهد؛ بنابراین، از بتن بازیافتی مذکور می‌توان به عنوان پی‌هایی که استهلاک انرژی انجام می‌دهند، استفاده کرد.

## پانوشت‌ها

1. Benazzouk
2. Albano
3. Tsang
4. Oikonomou & Mavridou
5. Azevedo
6. Rivas
7. Crumb Rubber Concrete
8. Strukar
9. Hansen
10. Xiao
11. Duan
12. Vieira
13. Deutscher
14. Bai
15. Wang
16. Sahu

## منابع (References)

1. Naderzadeh, A., 2009. Application of seismic base isolation technology in Iran. *Mehrin*, 63(2), pp.40-47. JSSI, Japan.
2. Ghodrati, G., Namiranian, P., Shams, M. (2009). Achieving higher levels using a seismic isolator. Publication No. 524. (In Persian).
3. Skinner R.I., Robinson W.H. and Kelly T.E., 2011. Robinson seismic Ltd and holmes consulting group. Seismic isolation for designers and structural engineers. Review. version. Robinson Seismic Ltd.? Holmes Consulting Group. March 9 2024.
4. Villaverde, R. 2011. Recent advances in base isolation technology, *Journal of Seismology and Earthquake Engineering*, 13(3,4), pp.209-218.
5. Hernández, E., Palermo, A., Granello, G., Chiaro, G. and Banasiak, L., 2020. Eco-rubber seismic-isolation foundation systems : A sustainable solution for the new zealand context. 8664, <https://doi.org/10.1080/10168664.2019.1702487>.
6. ASTM., 1998. Standard practice for the use of scrap tires in civil engineering applications. West Conshohocken. American Society for Testing and Materials, Pennsylvania. [www.astm.org](http://www.astm.org).
7. Benazzouk, A., Mezreb, K., Doyen, G., Goullieux, A. and Quéneudec, M. 2003. Effect of rubber aggregates on the physico-mechanical behaviour of cement-rubber composites-influence of the alveolar texture of rubber aggregates. *Cement and Concrete Composites*, 25(7), pp.711-720. [https://doi.org/10.1016/S0958-9465\(02\)00067-7](https://doi.org/10.1016/S0958-9465(02)00067-7).
8. Albano, C., Camacho, N., Reyes, J., Feliu, J.L. and Hernández, M. 2005. Influence of scrap rubber addition to Portland I concrete composites: Destructive and non-destructive testing. *Composite Structures*, 71(3-4), pp.439-446. <https://doi.org/10.1016/j.compstruct.2005.09.037>.
9. Tsang, H.H., Sheikh, M.N. and Lam, N., 2007. Rubber-soil cushion for earthquake protection. <https://ro.uow.edu.au/cgi/viewcontent.cgi?article=2435&context=engpapers>.
10. Oikonomou, N. and Mavridou, S., 2009. The use of waste tyre rubber in civil engineering works. In *Sustainability of construction materials*, (pp. 213-238). Woodhead Publishing. <https://doi.org/10.1533/9781845695842.213>.
11. Azevedo, F., Pacheco-Torgal, F., Jesus, C., De Aguiar, J. B. and Caínes, A.F. 2012. Properties and durability of HPC with tyre rubber wastes. *Construction and building materials*, 34, pp.186-191. <https://doi.org/10.1016/j.conbuildmat.2012.02.062>.
12. Li, L., Ruan, S. and Zeng, L., 2014. Mechanical properties and constitutive equations of concrete containing a low volume of tire rubber particles. *Construction and Building Materials*, 70, pp.291-308. <https://doi.org/10.1016/j.conbuildmat.2014.07.105>.
13. Mashiri, M.S., Vinod, J.S., Sheikh, M.N. and Tsang, H., 2015. Shear strength and dilatancy behaviour of sand-tire chip mixtures. *Soils Found*, 55, pp.517-528. <https://doi.org/10.1016/j.sandf.2015.04.004>.
14. Rivas-Vázquez, L.P., Suárez-Orduña, R., Hernández-Torres, J. and Aquino-Bolaños, E. 2015. Effect of the surface treatment of recycled rubber on the mechanical strength of composite concrete/rubber. *Materials and Structures*, 48(9), 2809-2814. <https://doi.org/10.1617/s11527-014-0355-y>.
15. Youssf, O., ElGawady, M.A. and Mills, J.E., 2015. Experimental investigation of crumb rubber concrete columns under seismic loading. In *Structures*, 3, pp.13-27. <https://doi.org/10.1016/j.istruc.2015.02.005>.

16. Strukar, K., Šipoš, T.K., Miličević, I. and Bušić, R. 2019. Potential use of rubber as aggregate in structural reinforced concrete element: A review. *Engineering Structures*, 188, pp.452-468. <https://doi.org/10.1016/j.engstruct.2019.03.031>.
17. Li, Y., Chai, J., Wang, R., Zhou, Y. and Tong, X., 2022. A review of the durability-related features of waste tyre rubber as a partial substitute for natural aggregate in concrete. *Buildings*, 12, 1975. <https://doi.org/10.3390/buildings12111975>.
18. Hansen, T.C., 1986. Recycled aggregates and recycled aggregate concrete second state-of-the-art report developments (1945-1985). *Materials and Structures*, 19(3), pp.201-246. <https://doi.org/10.1007/BF02472036>.
19. Xiao, J., Li, W., Fan, Y. and Huang, X., 2012. An overview of study on recycled aggregate concrete in China (1996-2011). *Construction And Building materials* 31, pp.364-383. <https://doi.org/10.1016/j.conbuildmat.2011.12.074>.
20. Duan, Z.H. and Poon, C.S. 2014. Properties of recycled aggregate concrete made with recycled aggregates with different amounts of old adhered mortars. *Materials Design*, 58, pp.19-29. <https://doi.org/10.1016/j.matdes.2014.01.044>.
21. Vieira, T., Alves, A., De Brito, J., Correia, J.R. and Silva, R.V., 2016. Durability-related performance of concrete containing fine recycled aggregates from crushed bricks and sanitary ware. *Materials and Design*, 90, pp.767-776. <https://doi.org/10.1016/j.matdes.2015.11.023>.
22. Verein Deutscher Zementwerk., 2019. Global cement production from 1990 to (in millionmetrictons)[07.Mar] Available from: <https://www.statista.com/statistics/373845/global-cement-production-forecast>.
23. Bai, G., Zhu ,C., Liu, C. and Liu, B., 2020. An evaluation of the recycled aggregate characteristics and the recycled aggregate concrete mechanical properties. *Construction and Building Materials*, 240, 117978. <https://doi.org/10.1016/j.conbuildmat.2019.117978>.
24. Wang, B., Yan, L., Fu, Q. and Kasal, B. 2021. A comprehensive review on recycled aggregate and recycled aggregate concrete. *Resources, Conservation and Recycling*, 171, p.105565. <http://dx.doi.org/10.1016/j.resconrec.2021.105565>.
25. Sahu, A., Kumar, S. and Srivastava, A.K.L., 2022. Comparative study on natural and recycled concrete aggregate in sustainable concrete: A Review. *Recent Advances in Sustainable Environment, Lecture Notes in Civil Engineering*, 285, [https://doi.org/10.1007/978-981-19-5077-3\\_12](https://doi.org/10.1007/978-981-19-5077-3_12).
26. Assistant for the strategic supervision of the executive technical system office., 2010. Guideline for design and practice of base isolation systems in buildings code. 523.[In Persian]. <https://tec.mprog.ir>.
27. Vivian W.Y. Tam. and C.M. Tam. 2007. Assessment of durability of recycled aggregate concrete produced by two-stage mixing approach. 2007, pp. 3592-3602, 2010, <https://doi.org/10.1007/s10853-006-0379-y>.
28. Mostafazadeh, M. and Abolmaali, A., 2016. Shear behavior of synthetic fiber reinforced concrete. *Advances in Civil Engineering Materials*, 5(1), pp.371-386. <http://dx.doi.org/10.1520/ACEM20160005>